

Fig. 1

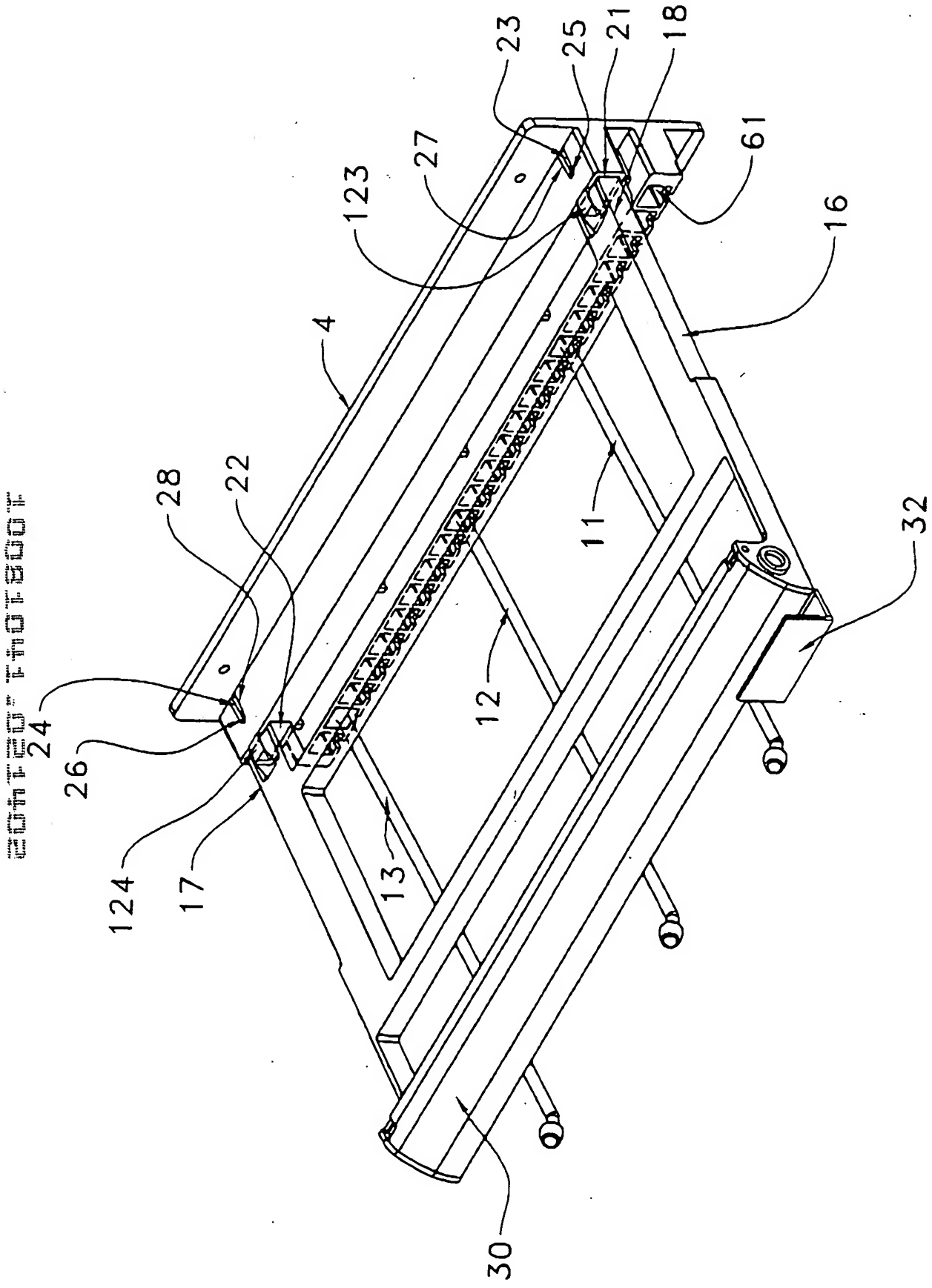




Fig. 8E

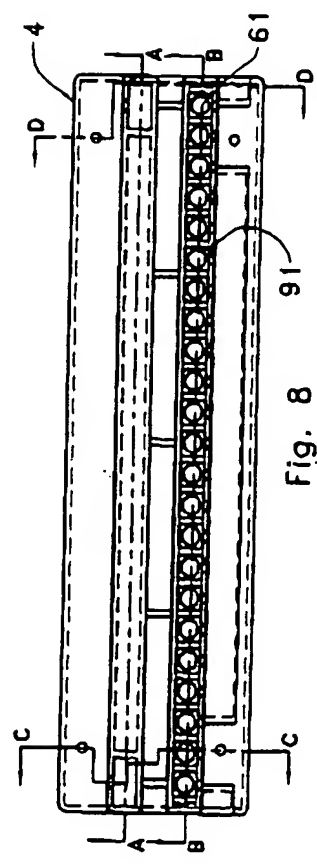


Fig. 8



Fig. 8C



Fig. 8A

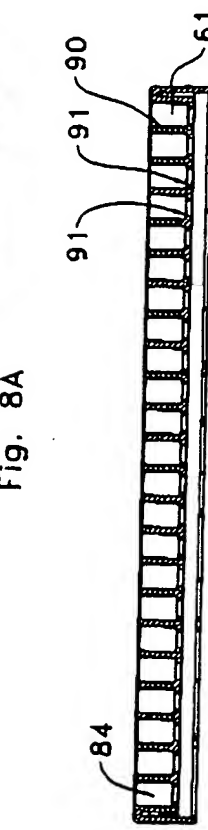


Fig. 8B



Fig. 9

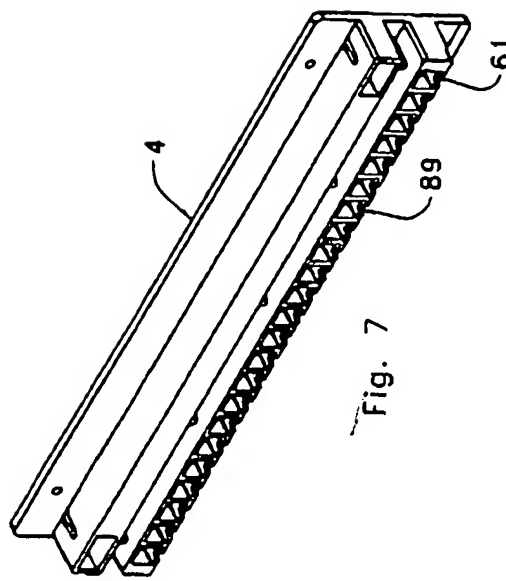


Fig. 7

Fig. 8D

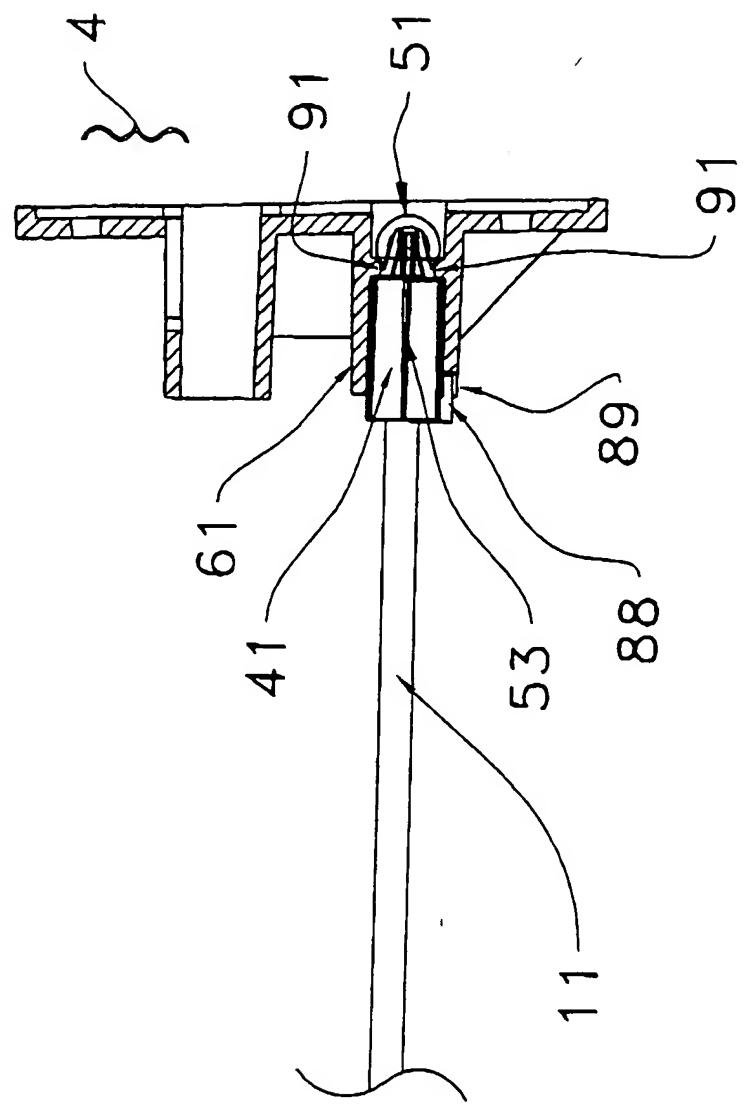


Fig. 8F



Fig. 11D

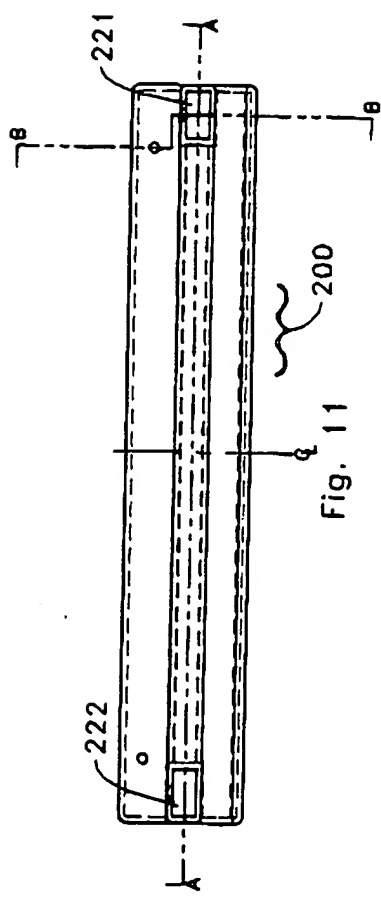


Fig. 11

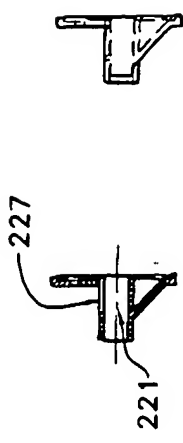


Fig. 11B

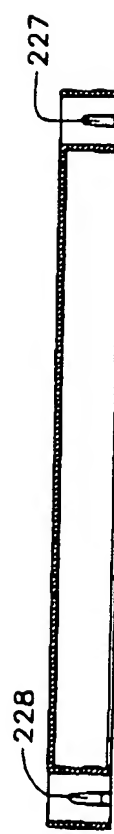


Fig. 11A

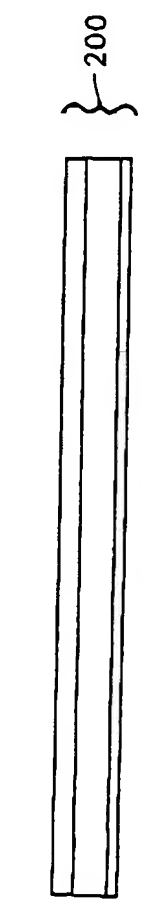
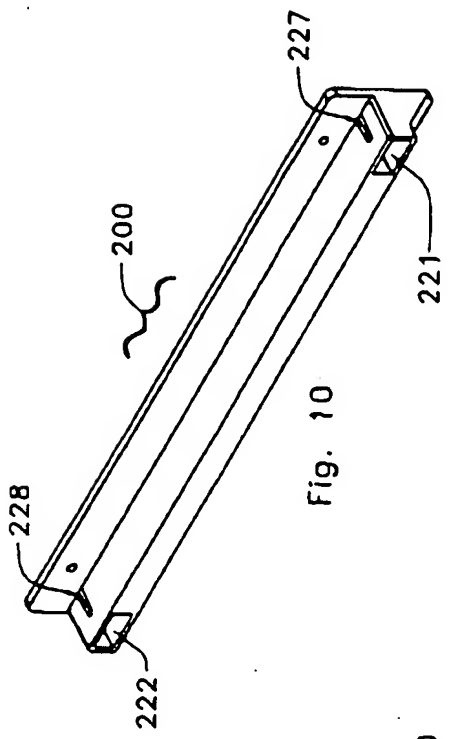


Fig. 11C

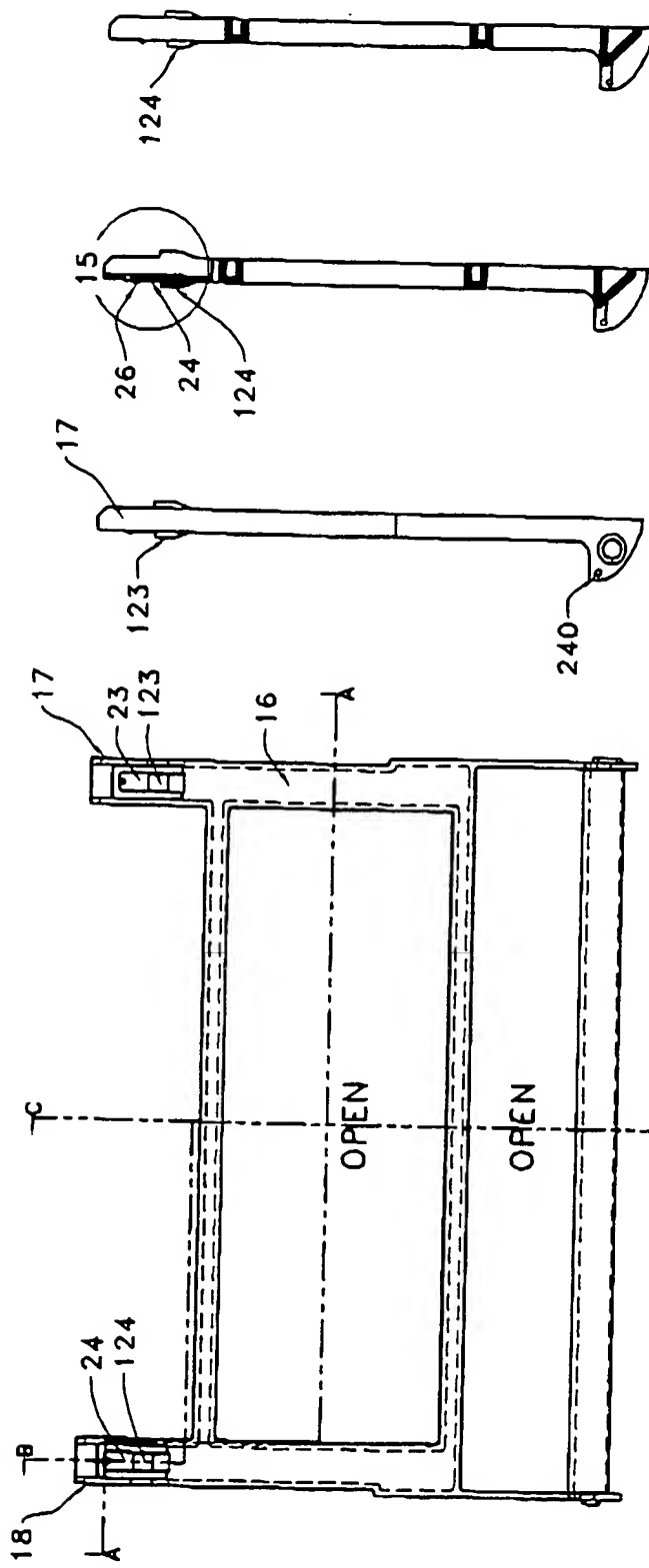


Fig. 12

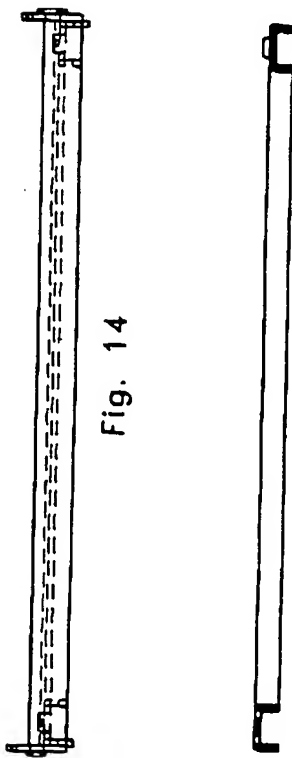


Fig. 12A

Fig. 12B

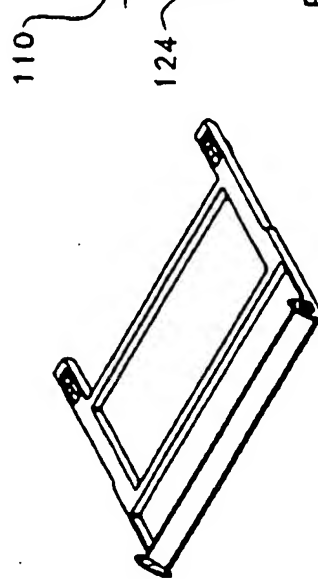


Fig. 12C

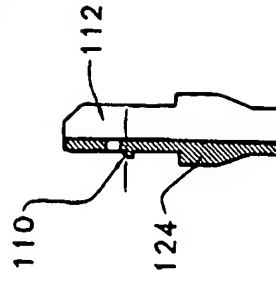


Fig. 15

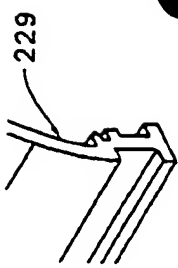


Fig. 19

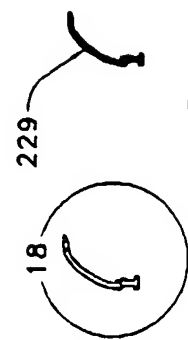


Fig. 17A

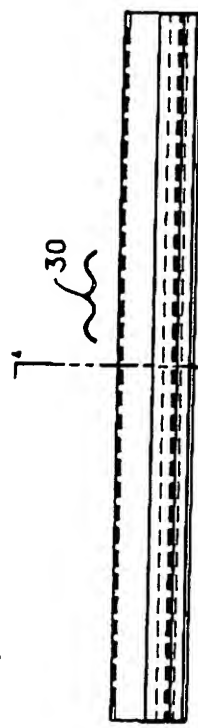


Fig. 17

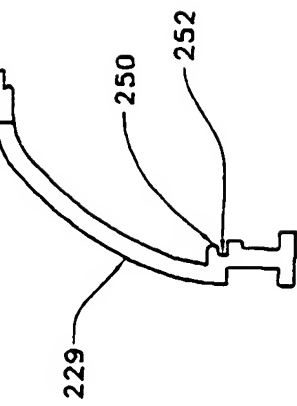


Fig. 18
(4:1)

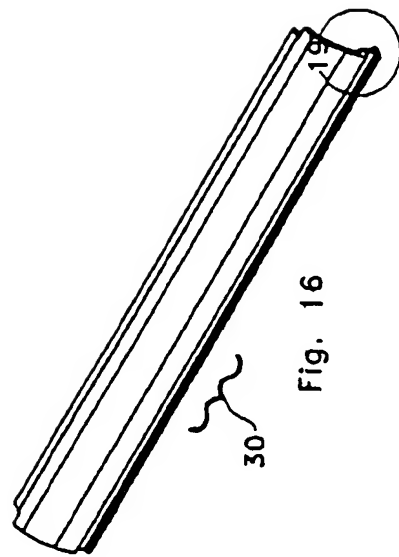


Fig. 16

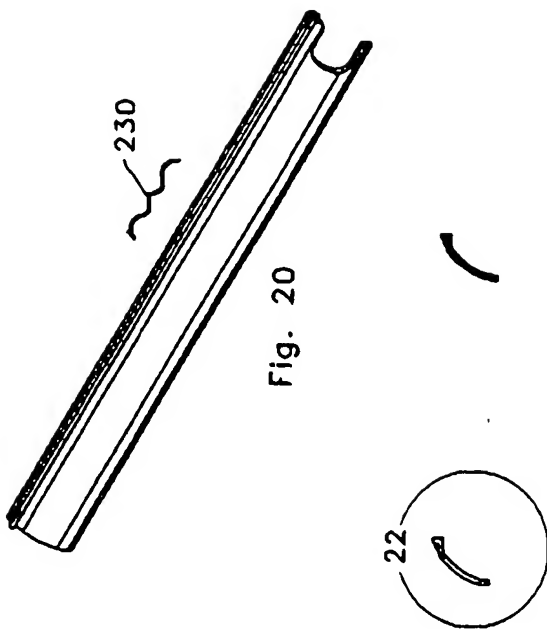


Fig. 20

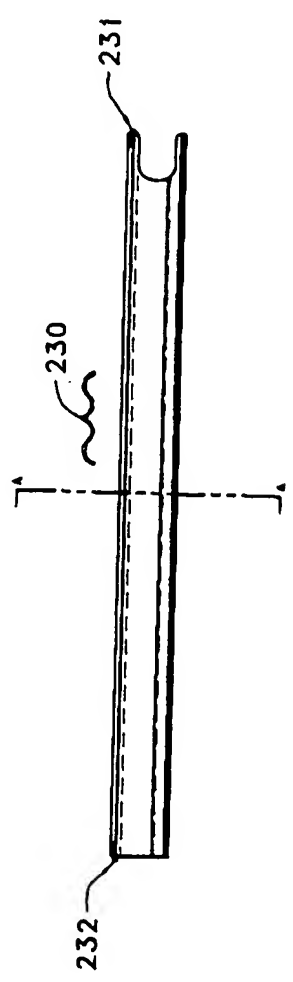
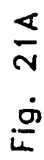


Fig. 21

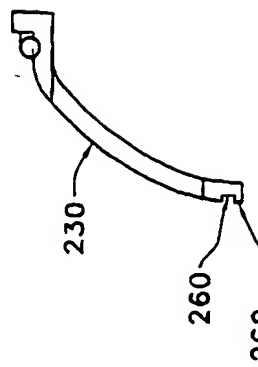


Fig. 22
(4:1)